# 神崎川鋼矢板護岸における電気防食の効果

株式会社 日本インシーク正会員 ○ 安井 章雄大阪産業大学正会員 玉井 昌宏株式会社 日本インシーク栗田 雅之大阪府西大阪治水事務所 神崎川出張所 人保田 英雄大阪府西大阪治水事務所 山中 友晶

### 1. はじめに

#### 2. 肉厚測定および防食対策

肉厚調査は、図-1 に示す鋼矢板および鋼管矢板護岸が施工されている河口(起点)の上流 1.5km から 16.1km までの 14.6km 区間の両岸で、概ね 200m 間隔で実施した。肉厚測定は、港湾の施設の維持管理技術マニュアル(改訂版)³に従い、鋼矢板は凹凸部、鋼管矢板は鋼管の中央部において、測定箇所の塗装の除去後、超音波厚み計により行った。測定箇所は気中部、潮待部、水中部の3つの箇所について、1箇所5点、各点3回行い、その平均値を当該箇所の肉厚とした。腐食量は初期肉厚からの減少量、腐食速度は腐食量を竣工からの経過年数で除したものである。初期肉厚は、港湾鋼構造物防食・補修マニュアル(2009年版)⁴に基づきカタログ値としたが、測定肉厚がカタログ値以上の場合、初期肉厚は特定できないため、便宜上、腐食量はゼロとした。

表-1 は、塗替塗装の諸元の実績例を示している. 塗替塗料は、環境に配慮した VOC 削減材料が使用 されている. 気中部および潮待部 (O.P.+1.30m~ O.P.+2.50m)では、河川巡視や目視点検の結果も踏ま え、概ね 10~15 年間隔で塗替が行われている.

表-2 は、塗装と電気防食の併用区間を示している. 電気防食は、平成 4 年度から平成 25 年度に施工され、10 年仕様の陽極が用いられている. 陽極交換は、 測定した陽極残存量を消耗速度(陽極消耗量を経過 年数で除して算出)で除して求めた残存寿命 4の将 来予測結果に基づいて、計画的に実施されている.



図-1 調査場所の平面図(神崎川流域)

表-1 塗替塗装仕様(令和元年度の実績例)

塗装仕様および塗装厚		
素地調整 O.P.+1.30m~O.P.+2.00m	第3種Bケレン	
O.P.+2.00m~O.P.+2.50m		
下塗 1 回 O.P.+1.30m~O.P.+2.50m	弱溶剤変性エポキシ樹脂下塗塗料 (グレー系) 60 μ m	
中塗 1 回 O.P.+1.30m~O.P.+2.50m	弱溶剤変性エポキシ樹脂下塗塗料 (グレー系) 60 μ m	
	弱溶剤変性エポキシ樹脂上塗塗料 (グレー系) 60 μ m	
上塗 1 回 O.P.+2.00m~O.P.+2.50m	弱溶剤変性ウレタン樹脂上塗塗料 (青緑系) 30 μ m	

表-2 塗装と電気防食併用区間

右岸	左岸
河口の上流	河口の上流
2.0km~5.2km	$1.7$ km $\sim$ $6.2$ km
の 3.2km 区間	の 4.5km 区間
$(5.2 \text{km} \sim 7.7 \text{km})$	
は兵庫県管理)	

#### 3. 腐食量・腐食速度および考察

図-2 は河口からの距離と腐食量、図-3 は河口からの距離と腐食速度の関係を示している. 鋼矢板の肉厚測

キーワード 河川護岸、鋼矢板、腐食速度、電気防食、塗装防食、神崎川

連絡先 〒541-0054 大阪市中央区南本町三丁目6番14号 株式会社日本インシーク TEL06-6282-0350

点箇所数(凹凸,測定高)は344,鋼管矢板の肉厚測定箇所 数(測定高)は3である. 図-2からばらつきはあるが、腐食 量は全測点で腐食しろ(鋼矢板:2mm,鋼管矢板:1mm)以 下と腐食の進行はなく、健全と言える. 腐食量および腐食速 度の最大値は、塗装区間、電気防食併用区間ともに水中部で 得られた. 塗装区間の腐食量は,最大 1.580mm (凸部), 凹 凸平均 0.296mm, 電気防食併用区間は, 最大 0.550mm(凸 部), 凹凸平均 0.111mm であり, 電気防食併用の防食効果が わかる. 図-3 から腐食速度は、塗装区間で最大 0.041mm/年 (凸部), 凹凸平均 0.006mm/年, 電気防食併用区間で最大 0.016mm/年(凸部), 凹凸平均 0.003mm/年であり, 腐食量と 同様,電気防食併用の効果がみられた.港湾での鋼材腐食速 度は, 0.1~0.3mm/年が標準であるのに対し<sup>4)</sup>, 一般河川では 1 オーダー低いことが報告されている. 5今回の最大腐食速 度 0.041mm/年(塗装区間の水中部)は、前述した河川の腐 食速度と同程度である. 冨山・西崎のは、汽水・淡水域の河川 において飛沫や乾湿が高頻度で繰り返される部位では 0.1~ 0.2mm/年の速度で腐食が進行する傾向があったと報告して いるが,今回の結果はそれより小さい.本調査の対象区域は, 海水の影響は受けるものの, 塗装防食と電気防食による対策 が腐食低減の主要因と考える. 電気防食区間の腐食速度が速 い箇所は、図-2 および図-3 に示す陽極破損箇所と一致して おり,破損による機能消失が主要因と考える.比抵抗は,2020 年1月24日10:45~12:00 (干潮時刻12:34) に計測し、河口 から 6.5km 上流で 100 Ω·cm 程度, 7.5km 上流では 140 Ω·cm 程度であった. 水衝部における腐食量や腐食速度は, 塗装区 間では多少大きい傾向はあるが、電気防食区間では認めら れない. 他河川流入部における腐食量や腐食速度は, 一般部 と変わらず、腐食には影響していなかった、塗装厚は、平均 255μm (最小 121μm) であり、大多数が塗替厚(150μm) 以 上あることから、旧塗装の活膜は残っていたと考えられる.

図-4 は、測定高と腐食量の関係を示している. 電気防食併用箇所の腐食量は、塗装防食箇所と比較して、局所的に大きい腐食がなくなり、特に水中部での防食効果が顕著である.

本論では、紙面の都合上、右岸のみについて述べたが、 左岸においてもほぼ同じ様な傾向であった.

## 参考文献

- 1) 安井ら: 神崎川河口部付近における鋼矢板護岸の腐食調査, 令和元年度土木学会全国大会第 74 回年次学術講演会, VI -325, 2019.
- 2) 安井ら:神崎川の護岸矢板の肉厚データの特徴,令和2年度土木学会全国大会第75回年次学術講演会,VI-781,2020.
- 3) 一般財団法人 沿岸技術研究センター:港湾の施設の維持管理技術マニュアル(改訂版), 2018.
- 4) 財団法人 沿岸技術研究センター: 港湾鋼構造物防食・補修 マニュアル (2009 年版), 2009.
- 5) 鋼管杭・鋼矢板技術協会:鋼矢板 設計から施工まで,pp.365-368, 2014.
- 6) 冨山・西崎: 汽水・淡水域における護岸鋼矢板の腐食劣化の実態に関する調査,土木学会第71回年次学術講演会(平成28年9月), V-441, 2016.

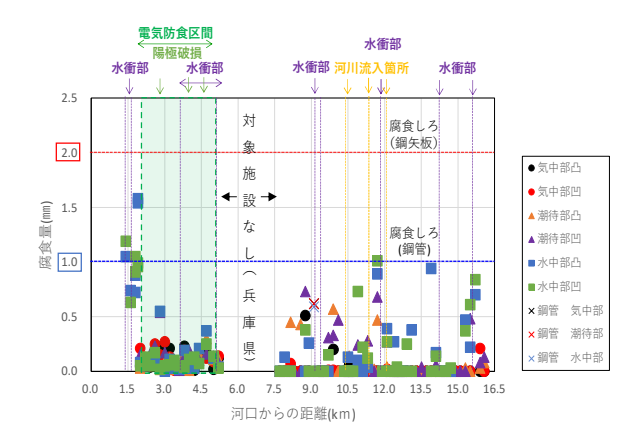
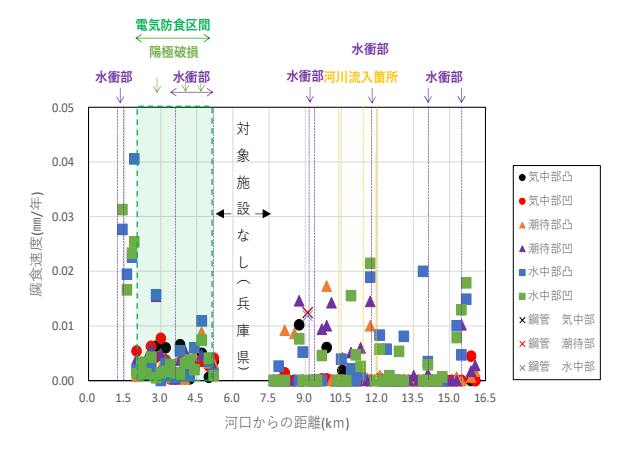
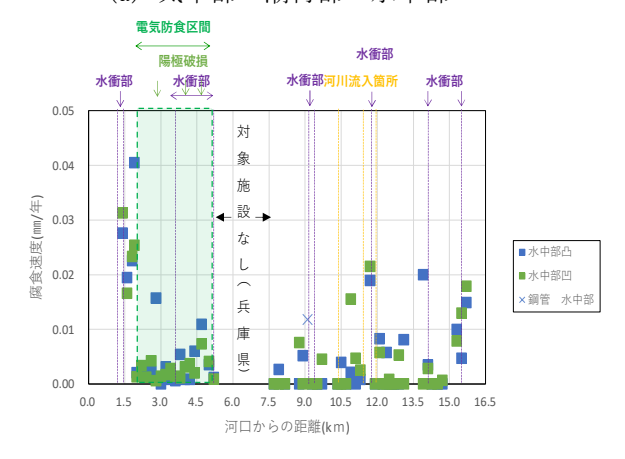


図-2 河口からの距離と腐食量



(a) 気中部·潮待部·水中部



(b) 水中部を抽出

図-3 河口からの距離と腐食速度

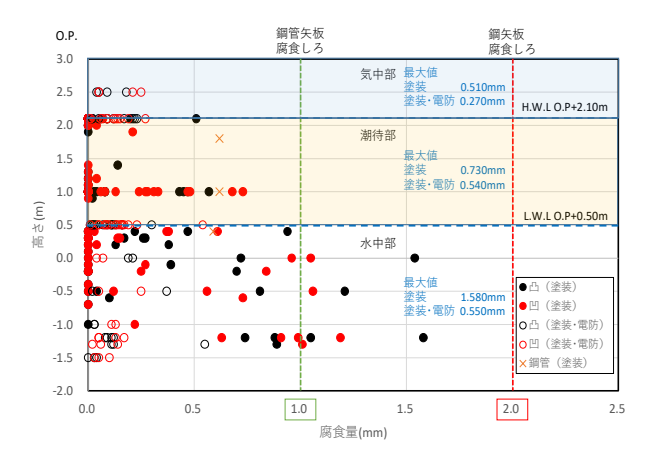


図-4 測定高と腐食量